

# BACCALAURÉAT GÉNÉRAL

SESSION 2019

---

## PHYSIQUE-CHIMIE

Série S

---

### Obligatoire

DURÉE DE L'ÉPREUVE : 3 h 30 – COEFFICIENT : 6

---

**L'usage de tout modèle de calculatrice,  
avec ou sans mode examen, est autorisé**

Ce sujet comporte **16** pages numérotées de **1** à **16**.

Les pages numérotées 15/16 et 16/16 sont à rendre avec la copie.

Le sujet est composé de 3 exercices indépendants les uns des autres.

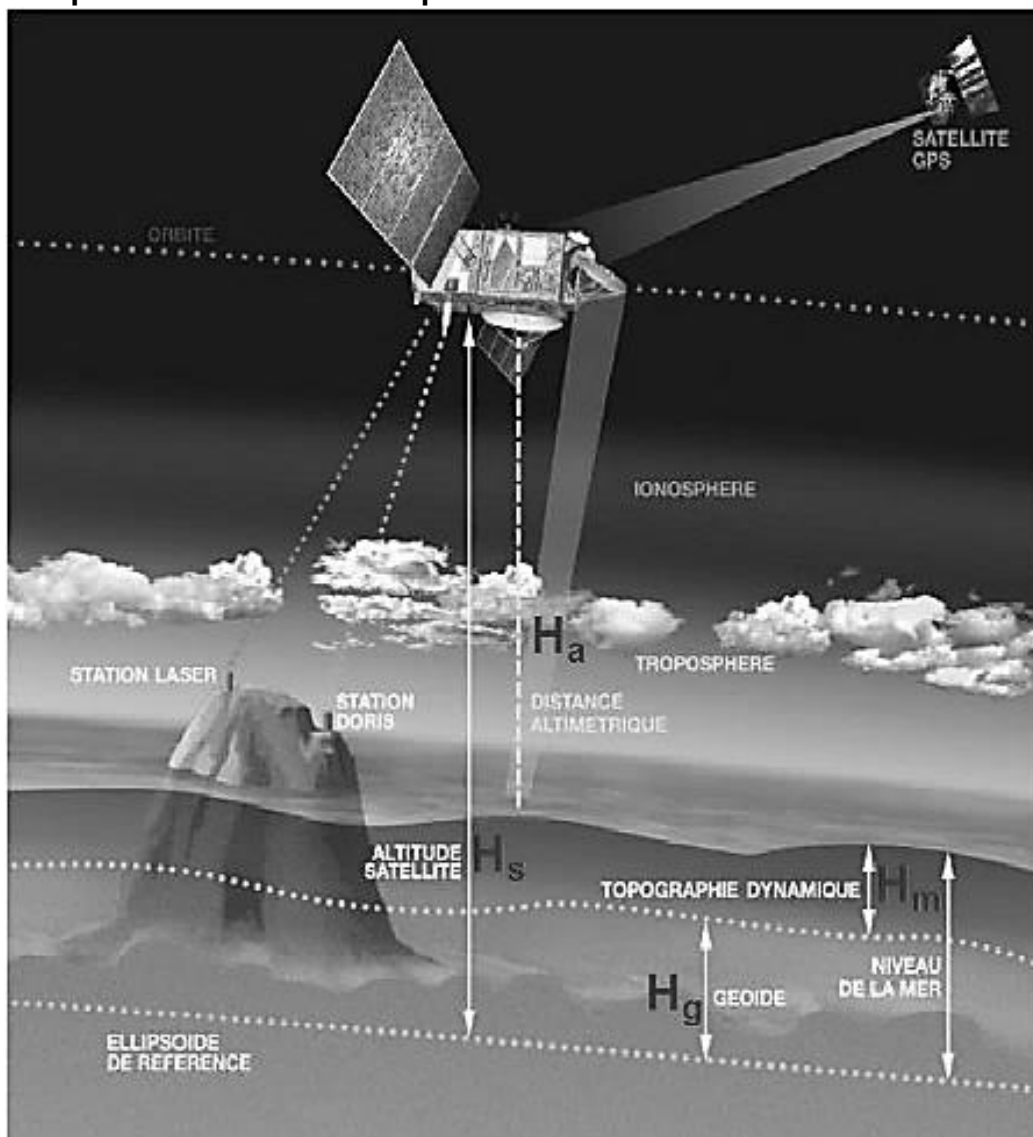
Le candidat doit traiter les trois exercices.

## EXERCICE I. LES OCÉANS SOUS HAUTES SURVEILLANCES (6 points)

Les océanographes ne peuvent plus s'en passer. De quoi ? Des satellites Jason ! Ces satellites altimétriques initiés par le lancement de Topex-Poseidon en 1992 puis de Jason 1 en 2001 et Jason 2 en 2008 donnent une cartographie évolutive de la surface des océans avec une précision meilleure que 5 cm.

Jason 3 permettra d'assurer au moins jusqu'en 2020 la continuité de ces mesures, capitales dans le contexte du réchauffement climatique. En 2020 et 2026, deux autres satellites Jason le rejoindront sur la même orbite : Jason-CS-A/Sentinel-6A et Jason-CS-B/Sentinel-6B.

### 1. Principe de l'altimétrie radar par satellite



Un radar embarqué sur le satellite émet verticalement des ondes radio sous forme de brèves impulsions. On mesure alors le temps de retour de l'onde émise par le satellite après réflexion sur la surface de la mer.

L'écho de chaque impulsion est détecté et analysé à bord du satellite, ce qui conduit à une détermination précise de la distance « altimétrique », c'est-à-dire la distance  $H_a$  entre le satellite et le niveau de la mer.

- 1.1. Donner l'expression de la durée  $\Delta t$  d'un aller-retour du signal radar en fonction de la célérité  $c$  supposée constante des ondes envoyées par l'altimètre et de la distance  $H_a$ .
- 1.2. Les ondes émises et reçues par l'altimètre traversent un milieu qui n'est pas vide : certaines entités (atomes, molécules, ions...) présentes dans l'atmosphère peuvent ralentir la propagation des ondes et affecter les mesures. C'est le cas des électrons, très abondants vers 400 km d'altitude, de l'air sec et de la vapeur d'eau à plus basse altitude. Sur Jason, c'est le radiomètre AMR qui permet, à l'aide de mesures effectuées à trois fréquences, de connaître le délai induit par l'eau atmosphérique dans la propagation de l'onde radar de l'altimètre.

Soit  $\Delta t_1$  la durée nécessaire à une onde radar de l'altimètre pour effectuer un aller-retour dans un nuage de type cumulonimbus de hauteur  $h = 2,0$  km et d'indice moyen pour l'onde électromagnétique utilisée  $n_1 = 1,00032$ .

Soit  $\Delta t_2$  la durée nécessaire à la même onde pour effectuer un aller-retour dans une colonne atmosphérique, dépourvue de nuage, de même hauteur  $h$  et d'indice moyen  $n_2 = 1,00029$ . Les valeurs des indices  $n_1$  et  $n_2$  ont été obtenues à l'aide du radiomètre.

### Données

L'indice d'un milieu transparent est défini par la relation  $n = \frac{c}{v}$  avec :

- $c$  : célérité des ondes électromagnétiques dans le vide,  $c = 3,0 \cdot 10^8$  m.s<sup>-1</sup> ;
- $v$  : célérité des ondes électromagnétiques radio dans le milieu d'indice  $n$ .

- 1.2.a. Montrer que le délai supplémentaire  $\tau = \Delta t_1 - \Delta t_2$  induit par la traversée (aller et retour) d'un nuage vaut  $\tau = \frac{2h}{c}(n_1 - n_2)$ . Calculer  $\tau$ .
- 1.2.b. Calculer la distance  $d$  en cm que l'onde électromagnétique radio parcourrait dans l'atmosphère dépourvue de nuage pendant cette même durée  $\tau$ .  
Conclure sur l'intérêt de l'utilisation du radiomètre.

## 2. Caractéristiques de l'orbite de Jason

« L'orbite du satellite Jason est choisie de façon à optimiser la répétition des mesures sur la plus grande partie possible de la surface du globe. L'altitude de 1336 km est assez élevée pour que le satellite ne soit plus sensible aux frottements dus au gaz atmosphérique résiduel, ni aux fluctuations de la gravité liées aux reliefs terrestres. La stabilité de l'orbite permet de situer avec précision la position du satellite, sa hauteur  $H_s$  et sa trace au sol en longitude et latitude. »

D'après « Les satellites Jason et la mesure du niveau des océans » Partenariat Eduscol- ENS Lyon

- 2.1. Représenter, sans souci d'échelle, sur la **figure 1 de l'ANNEXE À RENDRE AVEC LA COPIE** la force,  $\vec{F}_{T/S}$ , modélisant l'interaction gravitationnelle exercée par la Terre sur le satellite supposé ponctuel et noté S (la répartition de masse de la Terre est supposée à symétrie sphérique).
- 2.2. Donner l'expression vectorielle de cette force en fonction de certaines données de l'énoncé et du vecteur unitaire  $\vec{N}$  indiqué sur la figure 1 de l'annexe.

## Données

- Terre Masse :  $M = 5,98 \times 10^{24} \text{ kg}$  ; rayon :  $R_T = 6,38 \times 10^3 \text{ km}$   
Période de rotation sur elle-même :  $T_T = 23\text{h } 56\text{min } 4\text{s}$
- Jason Masse :  $m = 510 \text{ kg}$  ; altitude :  $H_s$   
Période de rotation autour de la Terre :  $T_J = 112 \text{ min}$
- Constante gravitationnelle :  $G = 6,67 \times 10^{-11} \text{ N.m}^2 .\text{kg}^{-2}$

2.3. En considérant la seule action de la Terre, établir l'expression vectorielle de l'accélération  $\vec{a}$  du satellite dans le référentiel géocentrique, supposé galiléen.

2.4. Montrer que, dans le cas d'un mouvement circulaire, dont on admettra sans démonstration qu'il est uniforme, la vitesse  $V$  du satellite a pour expression :

$$V = \sqrt{\frac{G \times M}{R_T + H_s}}$$

2.5. En déduire la valeur de la période de rotation  $T_S$  du satellite que l'on comparera à celle donnée dans l'énoncé.

## 3. Détermination précise de l'orbite

Une détermination très précise de la position du satellite en orbite est une des conditions essentielles de la qualité des données altimétriques. Le système DORIS (Détermination d'Orbites et Radio positionnement Intégré par Satellite), basé sur l'effet Doppler, contribue en partie à ce délicat exercice d'orbitographie.

Le système DORIS comporte environ 60 stations réparties uniformément sur tout le globe, chaque station se compose d'une balise émettrice, d'une antenne réceptrice et d'un jeu de capteurs météorologiques. Les balises émettent en continu des signaux de différentes fréquences dont l'une vaut  $f_0 = 401,250 \text{ MHz}$ .

3.1. Compléter le **document 1 « principe de l'effet Doppler »** de l'**ANNEXE À RENDRE AVEC LA COPIE** en faisant l'analogie avec les ondes sonores.

3.2. La vitesse  $v$  d'un satellite est reliée à la fréquence  $f_0$  de l'onde électromagnétique émise par la balise et à la fréquence de l'onde reçue par le satellite  $f_r$  par la relation

$$f_r = f_0 \left( 1 + \frac{v \times \cos(\theta)}{c} \right)$$

avec :

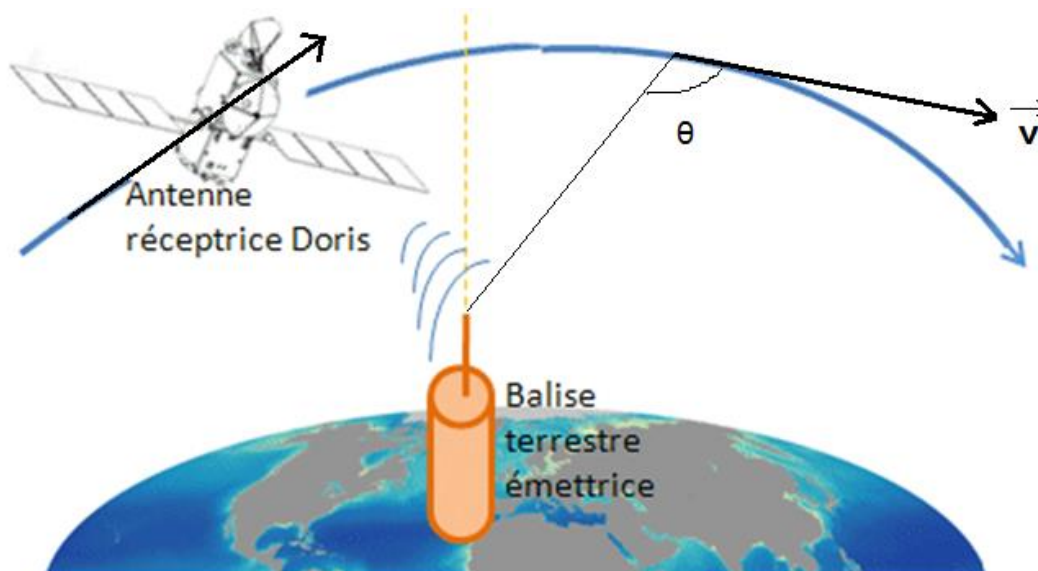
- $c$ , la célérité des ondes électromagnétiques
- $\theta$ , angle que fait le vecteur vitesse avec la direction balise satellite (voir **figure 2** ci-après).

3.2.a. Exprimer la vitesse  $v$  du satellite en fonction de la variation de fréquence

$$\Delta f = f_r - f_0, \text{ de } f_0, c \text{ et } \cos(\theta).$$

- 3.2.b.** Calculer la valeur de la vitesse  $v$  du satellite en  $\text{km}\cdot\text{s}^{-1}$  pour une variation de fréquence  $\Delta f = -4,07 \text{ kHz}$  et un angle  $\theta = 115^\circ$ .  
Comparer cette valeur à celle que l'on peut calculer à l'aide de l'expression trouvée à la question **2.4**.

Figure 2



## EXERCICE II. LE BYSSUS DE LA MOULE (9 points)

Les moules sont des mollusques qui ont la faculté de s'accrocher à toutes sortes de supports : rochers, cordes, coques de bateau.

Une glande sécrète le byssus, une colle très puissante qui durcit sous forme de filaments élastiques résistant à l'eau, aux rayonnements ultraviolets et au sel.

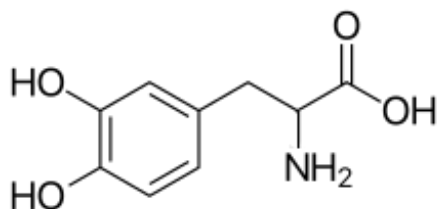


Cet exercice étudie quelques propriétés remarquables de ces filaments.

La recherche de nouveaux adhésifs efficaces en milieu aqueux a conduit à isoler les deux principales protéines responsables de l'adhésion du byssus : la Mfp-3 et la Mfp-5 (Mfp pour *Mussel foot protein*) contenant de la L-3,4-dihydroxyphénylalanine, un acide aminé rare plus communément appelé L-DOPA.

**Les parties 1 à 4 de cet exercice sont indépendantes**

### 1. Propriétés adhésives



3,4-dihydroxyphénylalanine

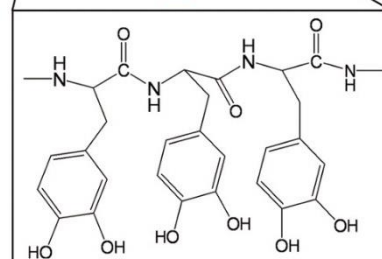
#### Mfp5

SSEEYKGGYYPGNAYHYHSGGSYHG  
 SGYHGGYKGGKYYGKAKKYYYKYKNS  
 GKYYLKKARKYHRKGYKYYGGSS

#### Mfp3

ADYYGPNYGPERRYGGGNYNRYNRY  
 GRRYGGYKGWNNGWNRGRRGKYW

**Y: DOPA**  
**S: Phosphoserine**  
**R: Hydroxyarginine**

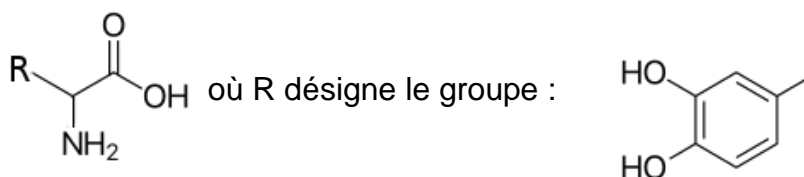


#### Séquençage de la Mfp-3 et de la Mfp-5

*d'après Haeshin et al. Proceedings of the National Academy of Sciences of The United States of America. Vol. 103. N°35. 2006.*

**1.1.** L'introduction indique que le byssus contient un acide aminé rare, la 3,4-dihydroxyphénylalanine. Justifier que cette molécule est bien un acide aminé.

Dans la suite de l'exercice, on simplifiera la formule de la 3,4-dihydroxyphénylalanine :

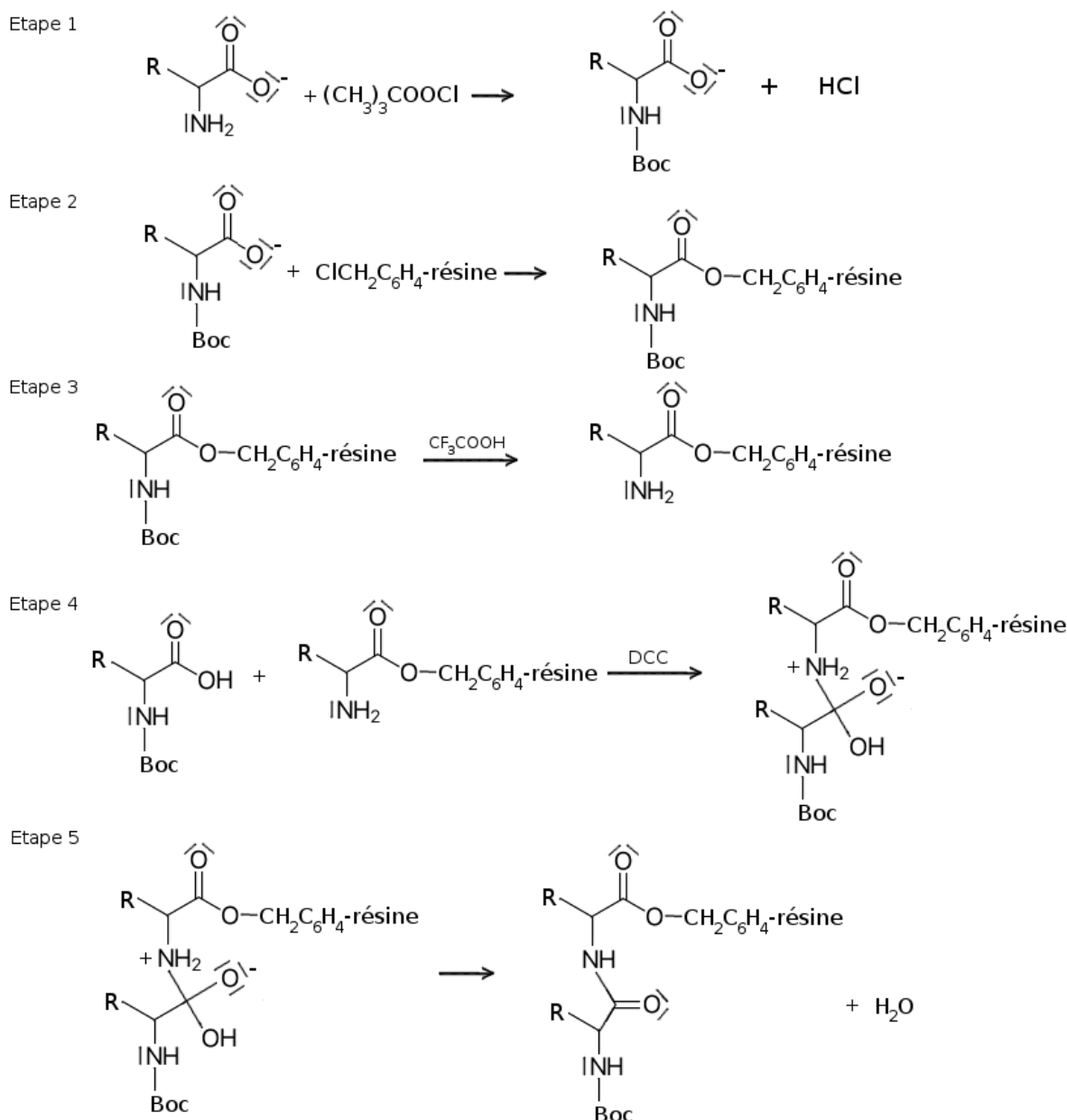


**1.2.** La L-DOPA est un des deux énantiomères de la 3,4-dihydroxyphénylalanine. Représenter ces deux énantiomères.

## 2. Synthèse des protéines des filaments du byssus

La synthèse en laboratoire des protéines Mfp-3 et Mfp-5 est étudiée à l'Université de l'Illinois, notamment pour l'élaboration d'adhésifs à usage médical. Pour obtenir un rendement convenable, on réalise une synthèse dite convergente, c'est-à-dire la création de petits polypeptides qui sont ensuite assemblés pour former la protéine finale.

On étudie ici la création d'un dipeptide obtenu à partir de deux molécules de L-3,4-dihydroxyphénylalanine. Des étapes de la synthèse sont présentées ci-dessous :



(Dans l'étape 4, DCC désigne le *N,N*-Dicyclohexylcarbodiimide)

La première étape consiste à protéger le groupe amino de l'acide aminé par addition d'un groupe 1,1-diméthyléthoxycarbonyle  $(\text{CH}_3)_3\text{COOC-}$ , noté Boc en abrégé.

2.1. Justifier la nécessité de cette première étape pour la suite de la synthèse.

Dans la L-3,4-dihydroxyphénylalanine, le groupe carboxyle est un acide faible dont le pKa est proche de 2,2 alors que le groupe amino est une base faible caractérisée par un pKa proche de 9,4.

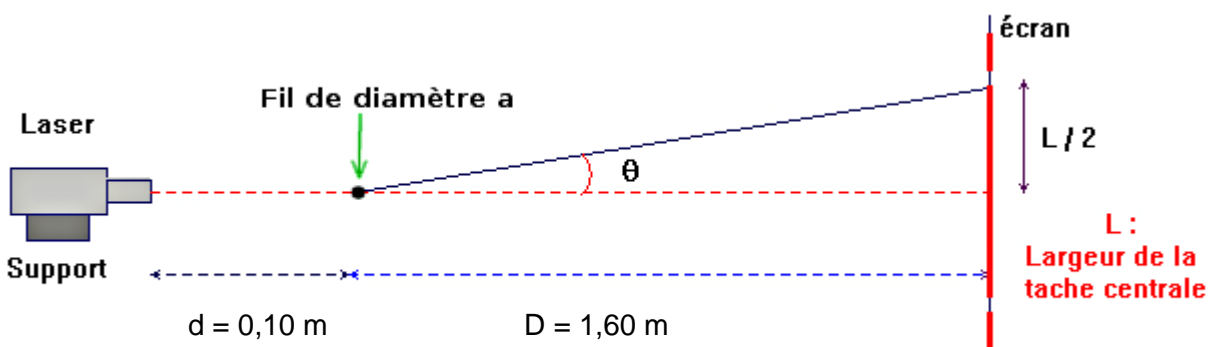
- 2.2. Montrer à l'aide d'un diagramme de prédominance que le pH doit être supérieur à 9,4 pour l'étape 1.
- 2.3. Compléter, sur l'**ANNEXE À RENDRE AVEC LA COPIE**, l'étape 4 en faisant apparaître les flèches courbes du mécanisme réactionnel.
- 2.4. À quelle catégorie de réactions correspondent respectivement l'étape 4 et l'étape 5 du mécanisme ? Justifier.
- 2.5. En une phrase, préciser quelle serait l'étape suivante qui permettrait la croissance de la chaîne peptidique par l'ajout d'un troisième acide aminé.

### 3. Extraction des protéines des filaments du byssus

**Données** Masse volumique du byssus :  $\rho = 640 \text{ kg.m}^{-3}$

Pourcentage massique du byssus en Mfp-3 et Mfp-5 : 0,9 %

Pour s'arrimer, une moule forme un réseau d'une cinquantaine de filaments de byssus qui mesurent entre 4 et 6 cm de long. Pour déterminer leur diamètre, on procède à des expériences de diffraction avec trois fils étalons et un filament de byssus que l'on peut assimiler à un cylindre.



Montage expérimental de diffraction. La longueur d'onde du laser est  $\lambda = 630 \text{ nm}$ .

Fil étalon	Diamètre a en $\mu\text{m}$
F <sub>1</sub>	60
F <sub>2</sub>	90
F <sub>3</sub>	120

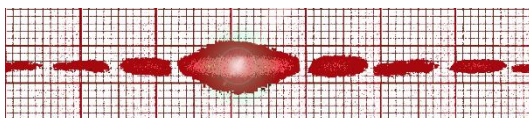


Figure A

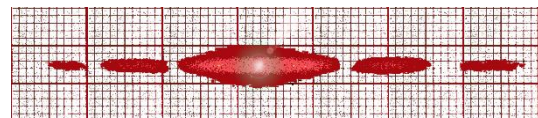


Figure B

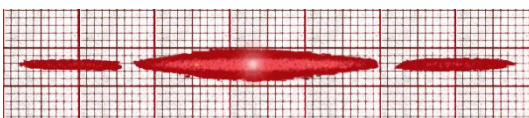


Figure C

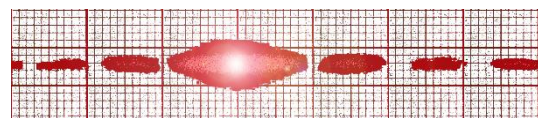


Figure obtenue avec le filament de byssus



On rappelle que l'écart angulaire  $\theta$  du faisceau peut être relié à la longueur d'onde  $\lambda$  (en m) de la lumière monochromatique et au diamètre  $a$  (en m) du fil par l'équation :

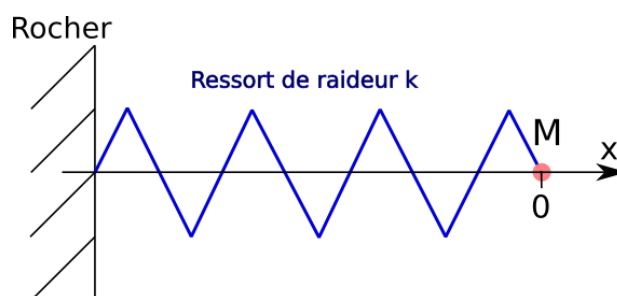
$$\theta = \frac{\lambda}{a}$$

- 3.1.** Associer chacune des figures A, B et C à l'un des fils  $F_1$ ,  $F_2$  et  $F_3$ . Justifier.
- 3.2.** On souhaite déterminer la valeur du diamètre  $a$  du filament de byssus.
- 3.2.a.** Établir la relation entre l'écart angulaire  $\theta$  et la largeur  $L$  de la tache centrale de diffraction. On se placera dans le cas où l'on peut faire l'approximation  $\tan \theta \approx \theta$  pour un angle  $\theta$  petit.
- 3.2.b.** Montrer par un calcul que le diamètre  $a$  vaut environ  $100 \mu\text{m}$ .
- 3.3.** À l'université de Pohang en Corée du Sud, les recherches visent à obtenir les protéines adhésives Mfp-3 et Mfp-5 en les extrayant à partir de véritables filaments de byssus.
- 3.3.a.** En prenant une longueur moyenne de 5 cm pour les filaments du byssus, déterminer la masse de protéine adhésive extraite à partir d'une seule moule.
- 3.3.b.** Estimer le nombre de moules qu'il faut traiter pour obtenir 1 gramme de protéines adhésives extraites des filaments de byssus. Conclure sur la pertinence d'une exploitation des ressources naturelles.

#### 4. Propriétés élastiques des filaments de byssus

Les propriétés adhésives du byssus ne suffisent pas à expliquer la résistance de l'ancrage des moules, surtout en période de tempête hivernale.

Pour étudier le comportement dynamique de la moule soumise aux vagues, on assimile celle-ci à un point matériel  $M$  et le réseau de filaments de byssus à un ressort de raideur  $k = 500 \text{ N}\cdot\text{m}^{-1}$ . Initialement, la moule est à l'abscisse  $x = 0$  et, à  $t = 0$ , la vague lui communique une vitesse initiale  $v_0 = 2 \text{ m}\cdot\text{s}^{-1}$  dirigée suivant l'axe  $x$ .



#### Données

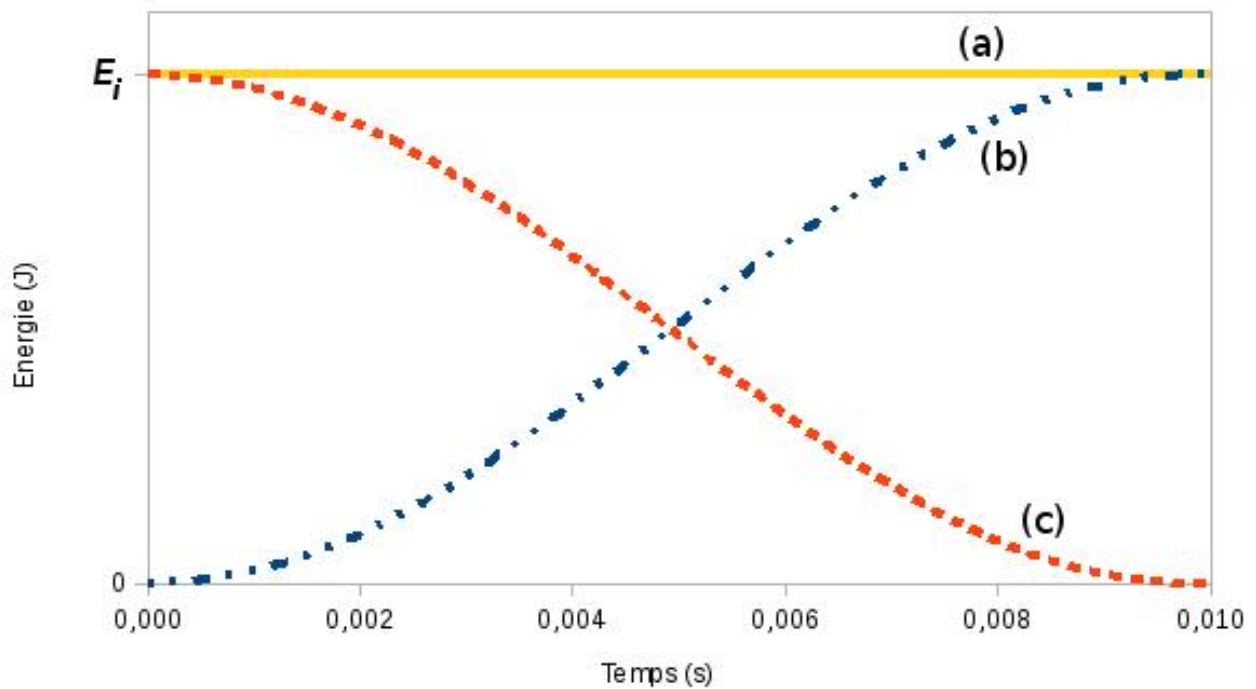
Masse d'une moule :  $m = 20 \text{ g}$

Force maximale avant rupture du réseau de filaments de byssus :  $F_{\text{max}} = 5,1 \text{ N}$

L'intensité de la force de rappel d'un ressort d'axe  $(O, x)$  est  $F = k \cdot x$  et l'énergie potentielle élastique  $E_{pe}$  du ressort est donnée par la relation :

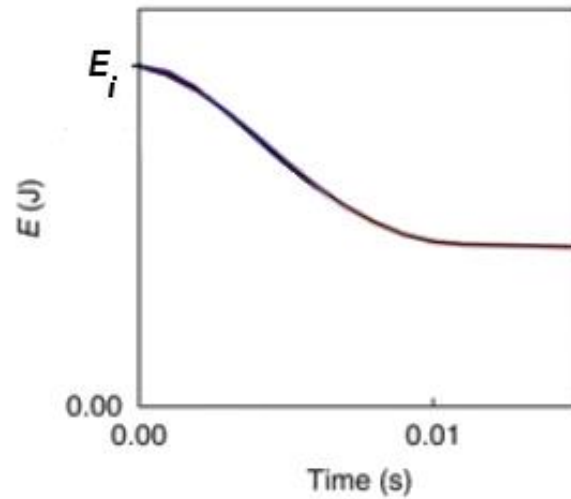
$$E_{pe} = \frac{1}{2} k \cdot x^2$$

Dans cette partie, on néglige les variations d'énergie potentielle de pesanteur et, dans un premier temps, on considère que l'énergie mécanique se conserve durant le mouvement. Les évolutions temporelles des énergies sont représentées sur le graphique ci-après :



- 4.1. Identifier parmi les courbes (a), (b) et (c) celle qui correspond à l'énergie cinétique  $E_c$ , à l'énergie potentielle élastique  $E_{pe}$  et à l'énergie mécanique  $E_m$ . Justifier brièvement.
- 4.2. Calculer la valeur de l'énergie mécanique initiale que l'on note  $E_i$ .
- 4.3. Montrer que l'allongement maximal  $x_{max}$  (à  $t = 0,010$  s) des filaments de byssus est de l'ordre de 1,3 cm.
- 4.4. En déduire la valeur maximale de la force de rappel  $F$  que le réseau de filaments de byssus devrait exercer et conclure.

En réalité, les filaments jouent aussi un rôle d'amortisseur et dissipent de l'énergie.



Évolution temporelle de l'énergie mécanique en situation réelle. *D'après Qin et Buehler, Nature Communications, Vol 4, 2013.*

**4.5.** Montrer que la dissipation d'énergie par le réseau de filaments de byssus permet à la moule de rester accrochée à son support malgré la tempête.

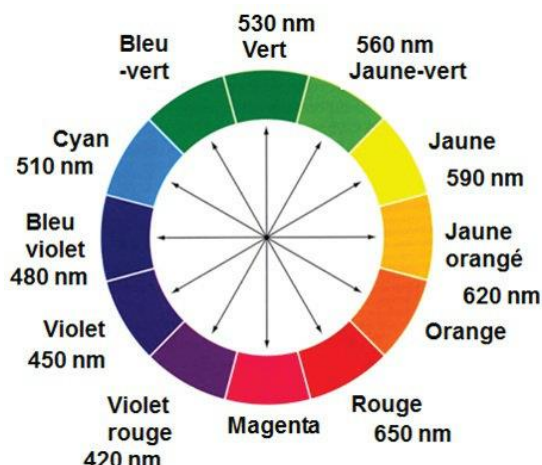
### EXERCICE III. LE FORMALDÉHYDE : UN POLLUANT DOMESTIQUE (5 points)

Le formaldéhyde (de formule brute  $\text{CH}_2\text{O}$ ) est aujourd'hui considéré par les autorités sanitaires françaises comme un polluant prioritaire à gérer du fait de son caractère cancérigène certain et de la fréquence de sa présence dans notre environnement : panneaux de particules agglomérées, moquette, papiers peints ...

En général, le formaldéhyde, émis par les matériaux de notre environnement, est sous forme gazeuse et cette émission tend à diminuer avec le temps.

#### Données

- Cercle chromatique



- Table de données pour la spectroscopie IR

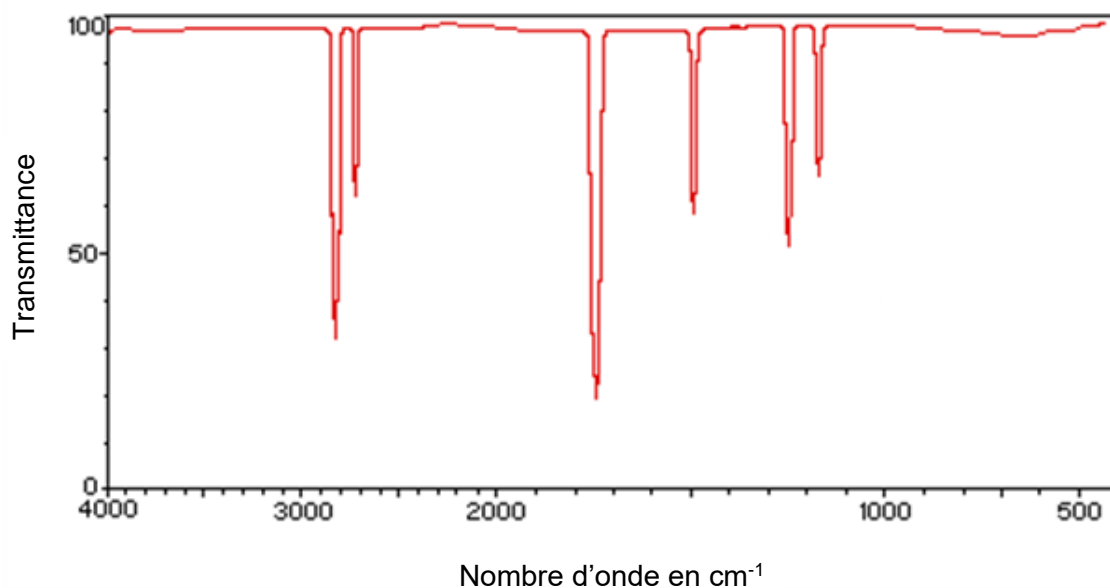
Famille	Liaison	Nombres d'onde ( $\text{cm}^{-1}$ )
Cétone	$\text{C} = \text{O}$	1705 - 1725
Aldéhyde	$\text{C}_{\text{tri}} - \text{H}$	2700 - 2900
	$\text{C} = \text{O}$	1720 - 1740
Acide carboxylique	$\text{O} - \text{H}$	2500 - 3200
	$\text{C} = \text{O}$	1740 - 1800
Ester	$\text{C} = \text{O}$	1730 - 1750
Alcool	$\text{O} - \text{H}_{\text{lié}}$	3200 - 3450
	$\text{O} - \text{H}_{\text{libre}}$	3600 - 3700

- Masses molaires moléculaires
  - Formaldéhyde :  $30 \text{ g.mol}^{-1}$
  - Acide chromotropique :  $320 \text{ g.mol}^{-1}$

#### 1. À propos du formaldéhyde

1.1. Écrire la formule développée du formaldéhyde et donner son nom dans la nomenclature systématique.

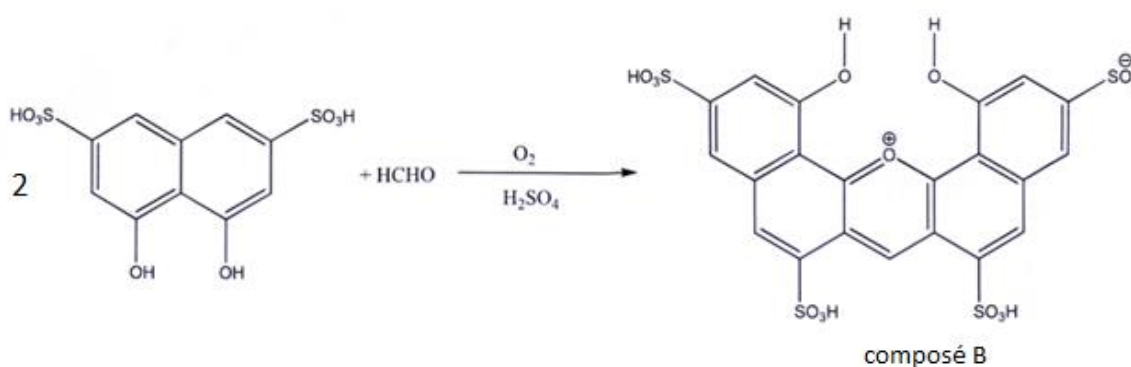
1.2. On réalise l'analyse d'un échantillon de matériau utilisé pour fabriquer un meuble. On obtient entre autres le spectre IR ci-dessous. Ce spectre permet-il de soupçonner la présence de formaldéhyde ? Justifier votre réponse.



## 2. Dosage du formaldéhyde dans un solide par spectrophotométrie

Les solutions aqueuses de formaldéhyde sont incolores. Pour doser le formaldéhyde par spectrophotométrie visible, on le fait au préalable réagir avec l'acide chromotropique en présence d'acide sulfurique. L'équation de la réaction est fournie ci-dessous. On obtient le composé B dont l'absorption de la lumière est maximale à la longueur d'onde 580 nm.

L'acide chromotropique ( $C_{10}H_8O_8S_2$ ) se présente sous forme de poudre blanche ou brun clair, soluble dans l'eau.



Le protocole du titrage du formaldéhyde présent dans le matériau analysé est le suivant.

Première étape : extraction du formaldéhyde dans le solide

- Un échantillon de 30,0 g de matériau est broyé puis mélangé à 300 mL d'eau.
- On laisse macérer le mélange durant 16 h puis on le filtre : le filtrat est conservé pour le dosage spectrophotométrique.

### Deuxième étape : réalisation des solutions étalons

- On fabrique par dilution d'une solution mère cinq solutions étalons de concentration massique  $C_m$  en formaldéhyde de 0,1 mg/L ; 0,5 mg/L ; 2,0 mg/L ; 3,0 mg/L et 5,0 mg/L.

### Troisième étape : dosage spectrophotométrique

- Dans un bécher on place à l'aide d'une pipette 3,0 mL d'une solution étalon.
- On ajoute 0,3 mL de solution d'acide chromotrope puis 6,0 mL d'acide sulfurique concentré.
- On homogénéise et on place le mélange à l'étuve à 105°C durant 30 min : il se forme alors le composé coloré B.
- On mesure enfin l'absorbance des différents mélanges colorés à 580 nm après avoir réalisé un blanc grâce à un échantillon témoin. Les résultats obtenus sont les suivants :

$C_m$ (mg/L)	0	0,1	0,5	2,0	3,0	5,0
A	0	0,03	0,17	0,67	1,00	1,67

- On réalise le même protocole pour le filtrat obtenu lors du traitement du matériau étudié, on obtient  $A = 1,34$ .

**2.1.** Pourquoi chauffe-t-on le mélange lors de la troisième étape de la préparation des solutions étalons ?

**2.2.** Quelle est la couleur du composé coloré formé lors de cette réaction ?

**2.3.** Déterminer la valeur de la concentration massique minimale de l'acide chromotrope pour que celui-ci soit en excès sur toute la gamme d'échantillons utilisés.

**2.4.** Exploitation du dosage

**2.4.1.** Déterminer, par une méthode de votre choix, la concentration massique en formaldéhyde dans le filtrat étudié.

**2.4.2.** Depuis 2002 la norme E1 impose pour les différents matériaux des teneurs en formaldéhyde inférieures ou égales à 8 mg pour 100 g de matériau.  
L'échantillon étudié satisfait-il à cette norme ?

Annexe de l'exercice I

Figure 1

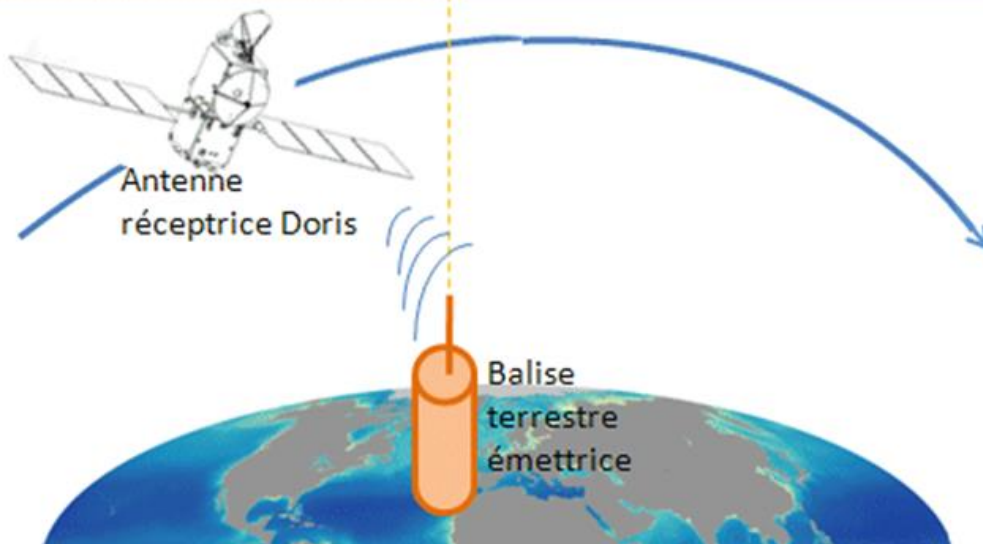


Document 1 « principe de l'effet Doppler »

Le satellite est à la **verticale** de la balise, c'est le point TCA (*Time of Closest Approach*)  
La fréquence du signal reçu est **égale** à la fréquence du signal émis.

Le satellite **s'approche** de la balise :  
La fréquence du signal reçu est \_\_\_\_\_ à la fréquence du signal émis.

Le satellite **s'éloigne** de la station terrestre :  
La fréquence du signal reçu est \_\_\_\_\_ à la fréquence du signal émis.



ANNEXE À RENDRE AVEC LA COPIE

Annexe de l'exercice II

Question 2.3.

